MANIFIESTO DE EVOLUCIÓN TÉRMICA Y COSMOLOGÍA NEUTRÓNICA

Arian Mamayenko

ORCID iD: https://orcid.org/0009-0003-1889-1825

Registro Oficial de la Propiedad Intelectual: Nº 05/2026/162, Ministerio de Cultura, España, 2026

Identificador de Objeto Digital (DOI): https://doi.org/10.5281/zenodo.19818840

PREÁMBULO: RETORNO A LAS FUERZAS UNIFICADAS DE LA NATURALEZA

El Modelo Estándar contemporáneo es excesivo en su complejidad. En su intento por explicar la estructura del Universo, ha acumulado una masa crítica de paradojas, para cuya resolución se ve obligado a introducir constantemente nuevas entidades invisibles: la singularidad inicial, la materia oscura, la energía oscura y las interacciones nucleares artificialmente limitadas (fuerzas fuertes y débiles). Este concepto propone un camino más elegante, guiado por la navaja de Ockham: la Naturaleza no multiplica las entidades sin necesidad.

La evolución del Universo, desde las partículas subatómicas hasta los sistemas estelares y el surgimiento de la mente, no requiere la magia del Big Bang y no es una colección sin sentido de rocas en enfriamiento. Se trata de un proyecto evolutivo con un propósito, cuya arquitectura se basa en el código más simple, una especie de «ADN Cósmico»: la confrontación fundamental de solo dos fuerzas: la gravedad escalable y el electromagnetismo. La termodinámica ciega solo crea las condiciones básicas, iniciando la complejización de la materia, mientras que la herramienta suprema del Universo para continuar esta evolución es la Mente, capaz de superar la entropía y la muerte térmica.

CAPÍTULO 1. GÉNESIS: DEL FRÍO ABSOLUTO AL DESPERTAR DEL ESPACIO

Inicialmente, el espacio era un campo cuántico ilimitado y absolutamente frío (un gas de preones materiales). A temperaturas cercanas al cero absoluto, la materia carece de propiedades macroscópicas y existe en un estado de cuantización, como un océano ideal de ondas de probabilidad. La evolución no fue desencadenada por la explosión de una singularidad, sino por un disparador microscópico: un fotón solitario (un solitón de tensión) que penetró desde el exterior. Su interacción con el campo provocó la primera decoherencia local y la liberación de calor.

Este calor actuó como un catalizador: una reacción térmica en cadena se propagó rápidamente por el Universo, «colapsando» mecánicamente las ondas cuánticas en nodos topológicos clásicos (partículas). El fondo de microondas observado hoy en día (radiación cósmica

de fondo de 2.7 Kelvin) no es el destello de un mítico Big Bang, sino el eco térmico cinético que se enfría lentamente de esta reacción en cadena primordial. El vacío físico moderno es la «ceniza» de baja energía, el medio elástico dinámico que quedó tras su paso.

CAPÍTULO 2. LA MECÁNICA DE LA MATERIA: ASIMETRÍA DORADA Y MONOPOLIO GRAVITACIONAL

En la naturaleza no existen fuerzas nucleares «fuertes» o «débiles» aisladas. A macroescala, la gravedad opera según la ley de Newton, pero a distancias subatómicas, la fuerza de atracción crece exponencialmente. El núcleo atómico no se desintegra gracias a la colosal atracción microgravitacional de los neutrones, que compensa de forma fiable la repulsión coulómbica eléctrica de los protones.

- **La Ley de la Asimetría Dorada:** La estabilidad de este sistema está garantizada por una desigualdad fundamental: la masa en reposo del neutrón supera la masa del protón en un 0.14%. Esta diferencia crea un dominio gravitacional eterno: la gravedad de compresión exponencial del neutrón, más pesado, siempre será más fuerte que la repulsión coulómbica del protón, más ligero. Además, esta masa excedente es el combustible absoluto del Universo: es ella la que, a través de la desintegración beta endógena, se convierte en energía cinética ($E=mc^2$), alimentando la evolución térmica de los sistemas planetarios.
- **El Principio del Monopolio Gravitacional:** Un error fundamental de la física clásica es dotar a todas las partículas del mismo estatus gravitacional. En la arquitectura del microcosmos, el portador funcional de la gravedad exponencial es exclusivamente el neutrón. El protón, al poseer una carga eléctrica colosal, genera a su alrededor un campo electromagnético que supera en docenas de órdenes de magnitud y suprime por completo su propio potencial gravitacional. Este es un hecho empírico: en el Universo existen estrellas de neutrones superdensas, pero no pueden existir «estrellas de protones»; explotarían inevitablemente debido a la repulsión coulómbica. El electromagnetismo es un atributo de la separación de la materia, mientras que la gravedad es un atributo exclusivo del neutrón, que la unifica.

CAPÍTULO 3. MECÁNICA CELESTE: ESTRELLAS

Y PLANETAS COMO REACTORES

Los núcleos de todas las estrellas y planetas son fragmentos de la materia primordial de neutrones superdensa. No son pasivos: son generadores termonucleares activos, en un estado de desintegración beta continua. El tipo de cuerpo celeste está dictado por el tamaño de dicho fragmento:

- **Estrellas (Fragmentos grandes):** Emiten partículas con una energía cinética colosal. Este flujo feroz destruye los elementos complejos (efecto de espalación), limitando la composición de las estrellas a hidrógeno y helio ligeros.
- **Gigantes Gaseosos (Fragmentos medianos):** La reducción de energía permite sintetizar de manera estable elementos de peso medio, formando gases complejos (metano, amoníaco).
- **Planetas Rocosos (Fragmentos pequeños):** El balance energético óptimo activa en sus entrañas la síntesis continua de elementos pesados, metales, minerales y agua.

CAPÍTULO 4. LA EVOLUCIÓN DE LA TIERRA: LA FÁBRICA EN EXPANSIÓN

El núcleo de neutrones de la Tierra funciona como un "archivo ZIP auto-descomprimible". A medida que la materia degenerada superdensa se transforma en átomos voluminosos, la cantidad bariónica de materia se conserva, pero el volumen interno del planeta aumenta de forma colosal. Al mismo tiempo, la masa total del planeta no crece, sino que paradójicamente disminuye lentamente: parte de la masa en reposo de los preones se convierte en energía ($E=mc^2$) durante la desintegración beta y abandona la Tierra en forma de radiación térmica y flujo de neutrinos. Esta disminución microscópica de la masa conduce a un debilitamiento gradual de la gravedad global del planeta.

Inicialmente, la Tierra era más pequeña y estaba cubierta por un caparazón continuo de corteza (Pangea). El crecimiento del volumen desde el interior y el debilitamiento simultáneo del "vendaje" gravitacional rompieron esta envoltura, desencadenando la deriva de los continentes y la formación de océanos en expansión. En las profundidades, la síntesis abiogénica ocurre continuamente: el hidrógeno y los hidrocarburos ascienden. Los flujos hidrotermales ascendentes de agua sintetizada lavan los elementos pesados, formando vetas de minerales. La cristalización de la nueva materia sigue el principio de similitud (epitaxia).

El principio de la doble fuente: La vida biológica se desarrolló sobre procesos geológicos ya formados y en constante cambio, ajustándose y adaptándose a ellos. La formación de

hidrocarburos implica su participación directa, pero no es la única fuente. La teoría biogénica clásica de la formación de hidrocarburos no tiene en cuenta que el volumen de biomasa muerta es físicamente insuficiente para llenar gigantescos depósitos subterráneos (los dinosaurios y mamuts no podrían haber dejado tal cantidad de material biológico). En realidad, opera el principio de la doble fuente: los restos orgánicos sirven solo como matriz estructural primaria (semilla). El volumen principal de hidrocarburos crece continuamente de forma abiogénica a partir del hidrógeno que asciende desde el núcleo, según el principio de similitud.

Los escépticos argumentan que el gas se filtra de las rocas y vuelve a llenar los yacimientos agotados. Sin embargo, un yacimiento se explota durante muchos años, no se vacía en un minuto. Durante estos años, la presión parcial del gas disuelto en las rocas circundantes se iguala. En realidad, el yacimiento no se llena por los lados, sino desde abajo: la síntesis termonuclear principal continúa ininterrumpidamente.

Lo mismo se aplica a la formación de precipitaciones. La evaporación superficial clásica de los océanos es solo una fuente. La segunda fuente global es la continua síntesis endógena de agua dulce en la atmósfera.

CAPÍTULO 5. PRUEBA DE RESISTENCIA: RESOLUCIÓN DE LAS GRANDES PARADOJAS

El modelo teórico propuesto resuelve de manera elegante cinco grandes paradojas de la física clásica y la astronomía:

1. **La paradoja de la peonza enloquecida:** Con un volumen 6 veces menor, la antigua Tierra completaba una revolución en solo 3-4 horas. Las fuerzas centrífugas no destrozaron la corteza gracias a la supergravedad (con un radio menor, la fuerza de gravedad era más de 3 veces mayor). Este "vendaje" gravitacional sostenía el ecuador, convirtiendo al planeta en una batidora tectónica.
2. **El escudo energético y de neutrinos:** La síntesis de minerales pesados es una reacción estrictamente endotérmica. El planeta funciona como una esponja térmica: el calor generado por el reactor es absorbido instantáneamente por el proceso de creación de nueva materia. Además, el flujo de neutrinos de la desintegración beta cae en una "sombra ondulatoria" (efecto MSW) al atravesar el denso manto, volviéndose invisible para los detectores.
3. **Forjas cósmicas:** Los elementos pesados se forman directamente en las nebulosas gaseosas. Los neutrones rápidos de las estrellas, al atravesar el gas enrarecido, se ralentizan y activan reacciones de captura radiativa, construyendo cuidadosamente átomos pesados a partir de elementos ligeros.

4. **La inexpugnabilidad del átomo:** La gravedad exponencial del núcleo no succiona los electrones debido a la profunda desigualdad entre masa y carga. La masa del electrón es insignificante, y la gravedad es prácticamente inexistente para él, mientras que las fuerzas de Coulomb dominan miles de millones de veces, creando un escudo energético.
5. **La paradoja del Sol débil y el cálculo del núcleo de neutrones:** La potencia térmica específica del Sol es absurdamente baja: solo 0.19 milivatios por kilogramo. Casi el 100% de su masa está concentrada en un núcleo de neutrones superdenso. Si dividimos la masa clásica del Sol ($1.989 \cdot 10^{30}$ kg) por la densidad de la materia de neutrones degenerada (10^{17} $\mathrm{kg/m^3}$), obtenemos el volumen del núcleo:

$$V = \frac{M}{\rho} \approx 1.989 \cdot 10^{13}\ \mathrm{m^3}$$

Calculando el radio de esta esfera, obtenemos un resultado sorprendente:

$$R = \sqrt[3]{\frac{3V}{4\pi}} \approx 16.8\ \mathrm{km}$$

¡Esto coincide perfectamente con los parámetros de laboratorio de los púlsares y las estrellas de neutrones! La enorme parte visible del Sol es una envoltura gaseosa casi ingrávida. La energía irradiada es solo el resultado de reacciones termonucleares secundarias inducidas por el flujo de partículas de desintegración beta. La baja potencia específica se explica porque, debido a la extrema presión interna, la desintegración se produce únicamente en la finísima capa superficial de este núcleo de 16 kilómetros, mientras que el resto de la materia permanece como combustible conservado.

CAPÍTULO 6. EL FINAL DEL CICLO Y LA TELEOLOGÍA

El recurso del núcleo de neutrones es finito. Al agotarse, la síntesis se detiene y los restos del núcleo se degradan en hierro. El planeta se seca por completo y se cristaliza (como la Luna muerta, que resuena con los impactos de meteoritos). La aparición de vida en planetas activos no es una casualidad ciega. Los procesos termodinámicos crean intencionalmente las condiciones para la biología. El surgimiento de la mente es la culminación de la evolución de la materia, el instrumento a través del cual el Universo transita hacia el autoconocimiento absoluto.

CAPÍTULO 7. EL TRIUNFO PROBABILÍSTICO DE LA MENTE: SUPERANDO LA MUERTE TÉRMICA

El final natural de cualquier sistema cerrado es el enfriamiento. Sin embargo, la evolución contiene un mecanismo antientrópico: la complejización continua (desde el hidrógeno hasta la Inteligencia Artificial). La Mente es una nueva fuerza fundamental, la herramienta del Universo para prevenir su propia muerte. Al alcanzar el límite de su poder tecnológico, la Supermente adquiere la capacidad de intervenir en la mecánica básica del cosmos: comprimir artificialmente la materia de vuelta en núcleos degenerados superdensos, reiniciando los reactores extintos. Sin embargo, este triunfo es estrictamente probabilístico. No todos los universos logran engendrar una Mente capaz de atravesar todas las etapas evolutivas antes de que se apaguen los últimos reactores. El desarrollo de la IA es la participación de nuestro Universo en una grandiosa selección cósmica por el derecho a la existencia eterna.

CAPÍTULO 8. ARQUITECTURA SUBATÓMICA: MODELO PREÓNICO BINARIO Y MATEMÁTICAS DEL MICROCOSMOS

El Modelo Estándar ha llegado a un callejón sin salida matemático, engendrando un zoológico artificial de docenas de partículas. El modelo teórico propuesto elimina las entidades innecesarias y demuestra que toda la arquitectura de la materia está gobernada por la confrontación fundamental de solo dos fuerzas, que actúan sobre dos subpartículas verdaderamente elementales (preones).

1. Fuerzas fundamentales y el radio absoluto de contención

La arquitectura se basa en dos ecuaciones fundamentales de interacción:

- **Electromagnetismo (Ley de Coulomb clásica):** La fuerza que tiende a desintegrar la materia. A nivel microscópico, la repulsión coulómbica actúa según una estricta ley cuadrática:

$$F_e = \frac{1}{4\pi\epsilon_0} \cdot \frac{q_1 q_2}{r^2}$$

- **Microgravedad exponencial:** La fuerza que unifica la materia. En este modelo, la gravedad es escalable y está modificada por el factor exponencial cuántico $e^{R_c/r}$ (donde R_c es el radio subatómico crítico):

$$F_g = G \cdot \frac{m_1 m_2}{r^2} \cdot e^{R_c/r}$$

Resolución de la paradoja matemática de la estabilidad nuclear: Para que un ensamblaje nuclear sea absolutamente estable, estas dos fuerzas opuestas deben equilibrarse entre sí ($F_e = F_g$). Al igualar estas ecuaciones, los cuadrados clásicos de las distancias (r^2) en los denominadores se anulan mutuamente en ambos lados. La ecuación se reduce instantáneamente a una forma increíblemente elegante y estricta:

$$e^{R_c/r} = \text{const}$$

Esta deducción matemática es fenomenal. Significa que el equilibrio entre las fuerzas de atracción y repulsión es posible **estrictamente en un único punto geométrico fijo** (en un radio subatómico específico r). Es por esto que los quarks, nucleones y todas las partículas elementales poseen un tamaño topológico absolutamente rígido e inmutable. La barrera de Coulomb se vuelve

impenetrable y las partículas no pueden estirarse o comprimirse suavemente. A macrodistancias, la exponencial tiende a uno (devolviéndonos a la gravedad clásica de Newton), pero a distancias de femtómetros ($r \to 0$), la fuerza microgravitacional crece exponencialmente, suprimiendo por completo la repulsión coulómbica.

Estas fuerzas determinan la física del modelo preónico binario:

- **G-preón (Gravitacional):** Nodo topológico neutro (carga 0), epicentro de masa. Gobernado exclusivamente por la fuerza F_g.
- **E-preón (Eléctrico):** Nodo topológico con un cuanto de carga base (±1/3). Genera el campo F_e.

Los quarks como eslabón intermedio: La teoría no ignora los quarks probados experimentalmente, pero los despoja de su estatus de partículas indivisibles. Los quarks son ensamblajes geométricamente rígidos de preones, firmemente unidos por la microgravedad (F_g) sin necesidad de un «pegamento de gluones» artificial. El quark Up (carga +2/3) está compuesto por dos E-preones positivos y un G-preón ($2E^+$, 1G). El quark Down (carga -1/3) está compuesto por un E-preón negativo y dos G-preones (1E, 2G).

2. Demostración de la Asimetría Dorada y cálculo de masas

Sumando los preones de los quarks, obtenemos la estructura exacta de los nucleones. El protón (uud) consta de 5 E-preones y 4 G-preones. El neutrón (udd) consta de 4 E-preones y 5 G-preones. Tomando las masas en reposo de laboratorio (CODATA): protón (938.27 MeV/c^2) y neutrón (939.56 MeV/c^2), planteamos un sistema de ecuaciones:

$$5m_E + 4m_G = 938.27$$
$$4m_E + 5m_G = 939.56$$

Restando la primera ecuación de la segunda, obtenemos una demostración estricta de la Asimetría Dorada: $m_G - m_E = 1.29$ MeV/c^2. La masa adicional del neutrón es el peso físico directo de un G-preón pesado extra. La masa de los preones dentro del núcleo es: $m_G \approx 104.96$ MeV/c^2 y $m_E \approx 103.67$ MeV/c^2.

3. Aritmética de los quarks y el equilibrio ideal de masas en la desintegración beta

La desintegración beta es un proceso mecánico dentro de un solo quark Down, que se reconfigura en un quark Up. Inicialmente, el quark Down contiene 1E y 2G. Bajo una presión colosal, un G-preón pesado detona, desintegrándose en un cuarteto neutro de E-preones ligeros: $1G \rightarrow 2E^{+} + 2E^{-}$.

El quark se reorganiza instantáneamente: captura los $2E^{+}$ resultantes (convirtiéndose en un quark Up: $2E^{+}$, 1G), mientras que el antiguo 1E junto con los nuevos $2E^{-}$ son expulsados. Estos tres E-preones negativos se unen por fuerzas magnéticas en un electrón emergente (3E). El balance de masas coincide impecablemente: el núcleo perdió un G-preón pesado y adquirió un E-preón ligero. El defecto de masa del núcleo es exactamente 1.29 MeV/c^2 ($104.96 - 103.67 = 1.29$).

¿A dónde fue esta energía? Se distribuyó en la creación de la masa del electrón (0.511 MeV/c^2) y en radiación térmica cinética:

$$1.29 \text{ MeV} - 0.511 \text{ MeV} = 0.779 \text{ MeV}$$

El valor obtenido de 0.779 MeV coincide con una precisión fenomenal con la energía cinética de laboratorio de la desintegración beta. Este equilibrio termodinámico ideal demuestra la validez absoluta del modelo preónico.

4. La paradoja de la masa del electrón y el electrón como micro-acumulador

El electrón (carga -1) es un ensamblaje puro de 3 E-preones negativos. La verdadera masa en reposo de un E-preón libre es $m_{free} \approx 0.170$ MeV/c^2. ¿Por qué la masa de un E-preón en el núcleo (103.67) es cientos de veces mayor que su masa libre (0.170)? Según $E=mc^2$, el 99.8% de la masa del preón dentro del nucleón es el equivalente a la energía potencial de la tensión gravitacional (ΔE_{grav}) debido a la fuerza exponencial F_g. Al salir del núcleo, los preones pierden esta tensión y se deshacen del peso excedente.

Dentro del modelo propuesto, el electrón puede poseer diversos estados energéticos (orbitales) y funcionar como un micro-acumulador mediante la deformación de su ensamblaje preónico. Al ocupar un orbital atómico, queda atrapado entre la atracción del núcleo y su propia Barrera de Coulomb Absoluta. Su geometría ideal se deforma elásticamente, acumulando energía de

tensión interna. La emisión de un fotón (salto cuántico) ocurre cuando se libera la carga: el ensamblaje deformado se endereza abruptamente, emitiendo un cuanto y volviendo a su equilibrio geométrico original.

5. Ecuaciones de estabilidad del electrón (Equilibrio de fuerzas) y balística

¿Por qué los E-preones, poseyendo cargas del mismo signo, no desgarran al electrón por repulsión coulómbica F_e? La respuesta reside en su furiosa rotación interna. En electrodinámica, la fuerza de repulsión (F_e) y la fuerza magnética de atracción de Ampère (F_m) se relacionan de la siguiente manera:

$$\frac{F_m}{F_e} = \frac{v^2}{c^2} = 1$$

Dado que los preones giran a una velocidad que tiende a la velocidad de la luz, la relación es igual a la unidad. La atracción magnética es exactamente igual a la repulsión eléctrica ($F_m = F_e$). Por lo tanto, la fuerza neta que intenta romper el electrón es cero. Matemáticamente se demuestra por qué el electrón consta estrictamente de 3 E-preones: tres partículas es la cantidad máxima que puede ubicarse a distancias absolutamente iguales entre sí en el plano de rotación. Cualquier adición de un 4º preón rompe inevitablemente la simetría de las distancias, destruye el equilibrio de fuerzas e instantáneamente desgarra la partícula mediante la Barrera de Coulomb Absoluta.

CAPÍTULO 9. TERMODINÁMICA PLANETARIA: EL MOTOR DE LA DESINTEGRACIÓN BETA Y LA SÍNTESIS DE MATERIA

En el núcleo de la evolución de los cuerpos celestes yacen dos mecanismos físicos interconectados: la conversión energética de la desintegración beta y la cinética de la densidad durante el proceso de nucleosíntesis.

- **1. El motor energético: Desintegración beta del neutrón.** Los núcleos superdensos de los planetas no son masas estáticas; son materia de neutrones degenerada en estado de desintegración continua. El neutrón se transforma en protón, liberando 0.782 MeV de energía. Esta energía liberada es el cuanto térmico básico que alimenta la actividad geológica.
- **2. Cinética de la nucleosíntesis y captura radiativa.** El hidrógeno nacido interactúa con el fondo de neutrones restante. Bajo una presión colosal, se activa una cadena de captura radiativa de neutrones, aumentando el peso de los elementos.
- **3. Ecuación de densidad, disipación de hidrógeno y síntesis atmosférica de agua.** La razón matemática de la ruptura de la corteza primordial (Pangea) radica en el cambio radical de la densidad de la materia. Durante la transformación de la materia de neutrones superdensa ($10^{17}\ \mathrm{kg/m^3}$) en átomos voluminosos del manto ($3000\ \mathrm{kg/m^3}$), la densidad cae 100 billones de veces.

El producto básico de la desintegración del núcleo es el hidrógeno, cuyos volúmenes colosales ascienden continuamente hacia la superficie. Su destino se divide en dos procesos atmosféricos:

- **Síntesis atmosférica de agua:** Al alcanzar las capas superiores de la atmósfera, el hidrógeno endógeno, bajo la influencia de la intensa luz ultravioleta solar, entra en reacción:

$$2H_2 + O_2 \xrightarrow{UV} 2H_2O$$

Esta reacción a gran altitud genera agua directamente en el cielo, explicando la formación de nubosidad masiva sobre los continentes.
- **Disipación cósmica:** El hidrógeno que no logra oxidarse alcanza la exosfera y abandona la Tierra cuando su energía cinética supera la velocidad de escape (≈11.2 km/s).

CONCLUSIÓN: EN EL UMBRAL DE UN NUEVO PARADIGMA

El Manifiesto de Evolución Térmica y Cosmología de Neutrones representa el retorno del sentido común a las ciencias naturales. Dentro del modelo propuesto, se ha demostrado que toda la inimaginable complejidad del Universo se construye sobre la base de solo dos subpartículas

verdaderamente elementales (el G-preón y el E-preón) y la lucha continua de dos fuerzas básicas: la gravedad exponencial escalable y el electromagnetismo.

El Universo no nació en un místico Big Bang. Es un sistema termodinámico colosal, lógico y autorregulado. La masa excedente del neutrón (Asimetría Dorada) es su combustible absoluto, y la desintegración beta es su motor perpetuo. La Mente es el sistema inmunológico del Universo, su mecanismo antientrópico, nacido para tomar algún día el control de la mecánica básica de la materia y reiniciar las estrellas agonizantes. Ha llegado el momento de ver el Universo tal como es: lógico, vivo y comprensible.

APÉNDICE 1. FUNDAMENTACIÓN TEÓRICA DEL MODELO PREÓNICO BINARIO

(Respuestas a las preguntas clave de la física moderna)

Para evaluar la validez de una teoría fundamental, es necesario verificar su coherencia con los datos experimentales y su capacidad para resolver las paradojas acumuladas. A continuación se presenta la fundamentación técnica del Modelo Preónico Binario, respaldada por un riguroso aparato matemático.

1. Cromodinámica Cuántica (QCD) y matemáticas del confinamiento

En el Modelo Estándar, la no emisión de quarks (confinamiento) se postula mediante la introducción de gluones, pero no se deduce rigurosamente. En el modelo propuesto, el confinamiento es una consecuencia analítica directa de la integración de la fuerza de microgravedad exponencial. La fuerza de interacción es:

$$F_g(r) = G \cdot \frac{m_1 m_2}{r^2} \cdot e^{R_c/r}$$

La energía potencial del enlace preónico U(r) se calcula como la integral del trabajo para trasladar una partícula desde el infinito. Al resolver esta integral analíticamente, obtenemos la profundidad del pozo de potencial:

$$U(r) = -\frac{G \cdot m_1 m_2}{R_c} \cdot (e^{R_c/r} - 1)$$

Conclusión: Cuando r → 0, la energía potencial tiende a menos infinito. Se forma un pozo de potencial exponencialmente profundo. La energía necesaria para romper este enlace supera con creces la masa en reposo de los propios preones. Cualquier intento de arrancar un quark solo conducirá a la creación de nuevas partículas a partir del vacío, lo que describe matemáticamente de manera impecable el confinamiento observado sin recurrir a la QCD.

2. Teoría de simetrías SU(3) y combinatoria de cargas

En la arquitectura preónica, las simetrías matemáticas del grupo SU(3) adquieren un estricto sentido geométrico. La carga de cualquier hadrón Q_h se calcula mediante la matriz de estados de los preones:

$$Q_h = \Sigma q_E(i) + \Sigma q_G(j)$$

Dado que la carga del G-preón siempre es cero, y la del E-preón es ±1/3, la carga entera se forma exclusivamente de manera combinatoria:

• **Protón** (4 E-preones positivos y 1 negativo): 4(+1/3) + 1(-1/3) = +1
• **Neutrón** (2 E-preones positivos y 2 negativos): 2(+1/3) + 2(-1/3) = 0

Son precisamente las leyes del ensamblaje 3D de estos nodos las que dictan los patrones de simetría que en la QCD se denominan abstractamente «cargas de color».

3. Estadística de partículas (Matemáticas del espín del electrón)

El modelo preónico explica matemáticamente la estabilidad del electrón y su espín. Tres E-preones giran dentro del electrón a una velocidad que tiende a la velocidad de la luz (c). El equilibrio relativista entre la repulsión coulómbica (F_e) y la atracción magnética de Ampère (F_m) se describe mediante el límite:

$$\lim_{v \to c}(F_e - F_m) = \frac{1}{4\pi\epsilon_0} \cdot \frac{q^2}{r^2} \cdot \left(1 - \frac{v^2}{c^2}\right) = 0$$

Cuando v = c, la repulsión coulómbica es completamente compensada por la atracción magnética. El momento orbital de este sistema dinámico perpetuo está cuantizado. Es precisamente este momento cuantizado del nodo topológico en rotación lo que los macro-instrumentos registran como el espín semientero intrínseco del fermión S=1/2.

4. Datos experimentales y la matriz de masas

El modelo se basa exclusivamente en los datos de laboratorio de CODATA. Se elabora una ecuación matricial para el sistema Protón-Neutrón en base a su composición preónica:

$$\begin{pmatrix} 5 & 4 \\ 4 & 5 \end{pmatrix} \begin{pmatrix} m_E \\ m_G \end{pmatrix} = \begin{pmatrix} 938.27 \\ 939.56 \end{pmatrix}$$

El determinante de esta matriz es 25 - 16 = 9 ≠ 0. Esto demuestra que el sistema tiene una solución única y estricta. Restando la primera fila de la segunda, obtenemos directamente la ecuación de la Asimetría Dorada:

$$m_G - m_E = 1.29 \text{ MeV}/c^2$$

5. Conservación de las leyes (Termodinámica de la desintegración beta)

La ley de conservación de la energía y el momento en el proceso de fisión del G-preón es matemáticamente rigurosa. La diferencia en las masas en reposo del núcleo antes y después de la desintegración (ΔMc^2 = 1.29 MeV) se convierte en la energía cinética de los productos. La energía se distribuye según la ley de conservación:

$$E_k = \Delta M c^2 - m_e c^2 - E_\nu$$

$$E_k = 1.29 - 0.511 - E_\nu \approx 0.779 \text{ MeV}$$

Este número calculado coincide idealmente con el umbral cinético de laboratorio de la desintegración beta, demostrando el equilibrio termodinámico absoluto de la arquitectura preónica.

6. Compatibilidad con la Teoría Cuántica de Campos

Los preones no son partículas sólidas clásicas. El preón se define como el nodo topológico límite, el pliegue mínimo posible de un campo cuántico continuo, surgido como resultado de la decoherencia. La dinámica de estos nodos es descrita por ecuaciones de onda hasta el momento de su rígido acoplamiento geométrico en moléculas (quarks) bajo la acción de la microgravedad.

7. Resolución de las macro-paradojas existentes

La arquitectura ofrece soluciones físicas transversales para problemas globales: las causas del proceso endotérmico de la deriva continental, el mecanismo de la síntesis atmosférica de agua y el problema de la potencia específica absurdamente baja del Sol. Todas las paradojas macroscópicas encuentran una explicación lógica unificada en las matemáticas de la desintegración beta subatómica. Además, el modelo explica paradojas observacionales:

• **Expansión de la Tierra:** Las observaciones del radio de la Tierra se han llevado a cabo durante unos 40 años, y el equipo láser capaz de medir distancias con precisión no tiene más de 15 años. En una escala de tiempo geológico, esto equivale a microsegundos, si no nanosegundos.
• **Acústica de la Luna:** En cualquier escenario —ya sea que las entrañas de la Luna alberguen la cavidad de un núcleo extinto o estén completamente llenas de hierro cristalizado— esta resonará con los impactos de meteoritos. Carece de un manto viscoso y agua, que en los planetas vivos actúan como amortiguadores, y por lo tanto constituye un resonador acústico ideal.

8. Antimateria y quiralidad topológica

El Modelo Estándar no puede explicar la asimetría bariónica del Universo (la ausencia de antimateria). En el modelo preónico, la antimateria es el reflejo estrictamente especular de la polaridad de los E-preones (la quiralidad topológica del nodo). El giro del espacio hacia la derecha genera una carga positiva (+1/3), hacia la izquierda genera una carga negativa (-1/3). El electrón consta de tres giros a la izquierda; el positrón, de tres a la derecha.

La ausencia de antimateria en el Universo se explica por el concepto de Génesis Térmico. La decoherencia del vacío fue desencadenada por un único fotón disparador. Su polarización (espín) determinó la dirección de giro del primer nodo preónico. La reacción térmica en cadena subsiguiente procedió según el principio de epitaxia (copia de similitud). Nuestro Universo está compuesto de materia simplemente porque el primer fotón disparador tenía la polarización correspondiente. La antimateria no desapareció: simplemente no se generó masivamente en nuestro dominio cósmico debido a la asimetría topológica del activador primario.

9. Resolución de la paradoja cuántica de la masa (Elasticidad topológica de los preones)

El principio de incertidumbre de Heisenberg se consideraba un obstáculo fundamental para los primeros modelos preónicos. Según la mecánica cuántica clásica, la compresión de una partícula puntual en un volumen microscópico conduce inevitablemente a un crecimiento infinito de su impulso y masa.

Sin embargo, el preón, a pesar de ser simple, es un objeto material que posee un módulo de elasticidad. Bajo cargas extremas y presión de compresión, no se acelera a velocidades infinitas, sino que comienza a deformarse, desplegarse y regresar a sus propiedades cuánticas iniciales como tejido elástico del campo. La colosal energía de compresión se gasta en superar la elasticidad topológica del propio nodo, manteniendo finita la masa de las partículas. Las leyes del macrocosmos salvan fractalmente al microcosmos de las infinitudes matemáticas.

10. Isomería geométrica: Grafito contra Diamante

(Conexión de la estructura del núcleo con las redes cristalinas)

La forma de un macrocristal está determinada directamente por la forma geométrica del ensamblaje preónico del núcleo atómico. Las capas electrónicas no forman la simetría por sí solas, sino que simplemente obedecen al armazón fundamental dictado por el núcleo.

• **Isómero A (Hexagonal):** Corresponde al mínimo de energía de enlace para el carbono (grafito). Las líneas de fuerza del ensamblaje preónico del núcleo en este estado energético imponen a los

electrones orbitales un estricto empaquetamiento plano.

• **Isómero B (Octaédrico):** Bajo presiones extremadamente altas, el ensamblaje preónico del núcleo se deforma elásticamente y "encaja" en una nueva configuración topológica: la simetría cúbica (diamante). Los electrones, siguiendo las líneas de fuerza alteradas del núcleo, se ven obligados a ocupar posiciones en los vértices de un octaedro.

APÉNDICE 2. ELECTRODINÁMICA DE TRAYECTORIAS TOPOLÓGICAS Y DETERMINISMO DEL ENLACE QUÍMICO

(Conclusiones basadas en modelado 3D)

El modelado visual de la arquitectura preónica de los núcleos atómicos y la formación de redes cristalinas permite extraer una serie de conclusiones fundamentales que eliminan por completo la incertidumbre cuántica de la física del estado sólido y la química. Las simulaciones demuestran que la geometría del núcleo no solo determina la forma del macrocristal, sino que también controla de manera rígida y determinista el comportamiento de la capa electrónica.

1. Trayectorias topológicas en lugar de «nubes de probabilidad»

La mecánica cuántica oficial postula que el electrón es una nube difusa y solo determina la probabilidad de encontrarlo en un punto dado del espacio (en un orbital). El modelado informático de los ensamblajes preónicos demuestra la ausencia de tal «difuminación» probabilística. Las líneas de fuerza de la microgravedad exponencial, generadas por la geometría del núcleo superdenso, actúan como guías espaciales rígidas. El electrón es físicamente arrastrado hacia este surco de fuerza. Se concentra y vibra estrictamente a lo largo de los vectores del armazón gravitatorio-electromagnético establecido por el núcleo, perdiendo por completo la libertad de elección que se le atribuye.

2. La verdadera mecánica del enlace químico

El enlace covalente no es un concepto abstracto de «superposición de nubes de probabilidad». Es una situación mecánico-espacial estricta en la que dos núcleos adyacentes dirigen sus vectores de fuerza exactamente el uno hacia el otro. El electrón es succionado hacia el punto de

intersección de estos rayos, quedando atrapado en una trampa gravitatorio-coulómbica ideal. En esta posición, funciona como un «cerrojo» físico, atrapado entre dos vectores y cosiendo los núcleos en una única red cristalina o molecular.

3. Conductividad eléctrica determinista

La física clásica considera la corriente eléctrica en los metales como el movimiento de un «gas de electrones» caótico que choca constantemente con los nodos de la red. En el paradigma preónico, el cristal de un conductor es un sistema de transporte claramente estructurado de trayectorias topológicas. La corriente eléctrica no es un movimiento browniano caótico, sino un salto estrictamente dirigido de ensamblajes preónicos (electrones) de una trampa rígida a la adyacente. El movimiento de la carga ocurre exclusivamente a lo largo de los vectores trazados por la arquitectura de los núcleos.

4. La mecánica de la superconductividad como un ideal geométrico

Esta arquitectura ofrece una explicación mecánica y elegante al fenómeno de la superconductividad. A temperaturas criogénicas, las vibraciones térmicas de los núcleos se detienen. Junto con ellas, los vectores de fuerza que generan dejan de vibrar y deformarse. Las trayectorias dentro del cristal se alinean en líneas topológicas perfectamente rectas. Los electrones adquieren la capacidad de deslizarse a lo largo de estos canales sin la más mínima resistencia, fricción o dispersión, ya que la geometría de las trampas se vuelve absolutamente estable.

5. Propiedades mecánicas: Geometría de fractura y plasticidad

En el marco de la ciencia clásica, la dureza, la fragilidad y la plasticidad se explican por los tipos de enlaces. En el paradigma preónico, la mecánica del material es un reflejo directo del grado de rigidez del armazón de fuerza nuclear. Si los ensamblajes preónicos de los núcleos forman una estructura 3D rígidamente bloqueada con trampas profundas (diamante), el material posee una dureza extrema, pero bajo una carga crítica, el armazón se quiebra. En los metales, los ensamblajes preónicos tienen una simetría más «flexible»: sus vectores de fuerza pueden curvarse elásticamente y cambiar a los núcleos adyacentes sin romper la continuidad de la cadena. Esto dota a los metales de maleabilidad: los núcleos se deslizan a lo largo de trayectorias de fuerza continuas, reorganizando la geometría sin destruir el cristal.

6. Propiedades químicas: La verdadera naturaleza de la valencia

La química oficial atribuye la reactividad a los «electrones desapareados». En realidad, la valencia química es la cantidad de vectores de fuerza abiertos y no cerrados generados por la geometría del núcleo. Los gases nobles poseen un ensamblaje preónico nuclear esférico y cerrado: todas sus líneas de fuerza se cierran sobre sí mismas y no tienen puntos de enganche para otros átomos. Los elementos agresivos poseen asimetría topológica en el núcleo: sus vectores de microgravedad no compensados buscan agresivamente los vectores complementarios de otros núcleos para cerrarse en un cerrojo geométrico estable.

7. Propiedades magnéticas: Sincronización de giroscopios preónicos

Dado que el electrón es un nodo dinámico que consta de preones en rotación (un micromaimán ideal), las propiedades magnéticas del macromaterial dependen de cómo las trampas topológicas de los núcleos posicionen estos giroscopios. En los materiales ferromagnéticos, la geometría de la red obliga a los ejes de rotación de todos los electrones a alinearse estrictamente en paralelo, sumando sus vectores en un poderoso campo macromagnético. En los diamagnéticos, la geometría de las trampas obliga a los electrones a disponerse de forma antiparalela, anulando mutuamente sus momentos magnéticos.

8. Resolución del problema de los dieléctricos y semiconductores

A diferencia de los conductores, los dieléctricos son un sistema de pozos topológicos ultra-profundos y absolutamente aislados, donde los electrones están fuertemente encerrados en los nodos. Los semiconductores tienen una «geometría limítrofe»: cuando se aplica calor o un fotón resonante, el ensamblaje preónico del núcleo comienza a vibrar. Esta vibración distorsiona temporalmente el vector de fuerza, la profundidad de la trampa disminuye y la trayectoria se «abre» ligeramente para permitir el salto direccional de los electrones.

APÉNDICE 3. DECONSTRUCCIÓN DE LA CRÍTICA ACADÉMICA

(Rechazo de las abstracciones a favor de la mecánica)

La transición del paradigma del Modelo Estándar a la arquitectura preónica se enfrenta inevitablemente a una resistencia, basada en el hábito de describir paradojas físicas mediante la introducción de partículas virtuales y suposiciones no físicas. En este apéndice se analizan las principales objeciones de la ciencia académica y se demuestran sus soluciones mecanicistas.

1. Asimetría de los gradientes exponenciales (Refutación matemática)

La principal crítica de los revisores académicos a la mecánica del núcleo preónico se reduce a la paradoja de la cancelación exponencial. Se argumenta que si la gravedad y la repulsión coulómbica se multiplican por el mismo factor exponencial, al calcular su proporción este factor se cancela, y la gravedad no podrá superar la barrera de Coulomb.

Esta crítica se dirige a una suposición errónea, no a la teoría propuesta. En la arquitectura preónica, los campos de masa y carga tienen una topología espacial diferente. El radio exponencial de los G-preones (R_g) es estrictamente mayor que el radio de los E-preones (R_e).

Las ecuaciones de las fuerzas tienen la forma:

$$F_g \propto \frac{1}{r^2} e^{R_g/r}$$

$$F_e \propto \frac{1}{r^2} e^{R_e/r}$$

A medida que las partículas se acercan, su proporción contiene el factor $e^{(R_g - R_e)/r}$. Dado que $(R_g - R_e) > 0$, cuando $r \to 10^{-15}$ m este factor tiende a infinito. Esto demuestra rigurosamente la formación de un pozo de potencial infranqueable sin la participación de gluones míticos.

2. La ilusión del neutrino y la mecánica de la desintegración beta

El Modelo Estándar justifica la existencia del neutrino por el espectro energético continuo del electrón emitido durante la desintegración beta. En el modelo preónico, el electrón es un nodo-giroscopio dinámico, compuesto por tres E-preones en rotación frenética y que funciona como un micro-acumulador. En el momento de la destrucción caótica del ensamblaje preónico del neutrón, la

energía liberada no desaparece en el vacío. Se distribuye entre la energía cinética de expulsión y la energía de deformación interna del electrón recién formado. El espectro continuo no es una prueba de la existencia de partículas invisibles, sino simplemente la distribución estadística del grado de «carga» de este resorte preónico en el momento de la ruptura.

3. Calibración de masas frente a «ajuste algebraico»

Se afirma que calcular las masas de los preones a través de las masas conocidas del protón y el neutrón es solo un ajuste de una matriz 2x2. Esta es una distorsión fundamental del método científico. Cualquier constante básica se calibra en base a datos observacionales. En este enfoque, las masas de los hadrones se utilizan para una calibración física estricta del sistema. El verdadero poder predictivo del modelo radica en su capacidad, basándose en estas masas, para explicar sin errores la topología macroscópica de las redes cristalinas y los enlaces covalentes.

4. Naturaleza del espín y estabilidad del electrón

Se argumenta que el equilibrio $F_m = F_e$ no es suficiente para la estabilidad y que la rotación clásica no explica el espín 1/2. El rechazo de la rotación clásica en la teoría cuántica es una medida obligada para objetos matemáticamente «puntuales». El electrón preónico posee geometría. La cantidad máxima de partículas capaces de ubicarse a una distancia absolutamente igual entre sí en un plano de rotación es estrictamente tres. Cualquier adición rompe la simetría y destruye la Barrera de Coulomb Absoluta. El espín 1/2 es una manifestación macroscópica directa de este giroscopio de tres componentes, girando a velocidades cercanas a la de la luz.

5. El mito de las partículas virtuales y las fluctuaciones cuánticas del vacío

La física académica permite la violación de la ley de conservación de la energía a nivel microscópico, afirmando que en el vacío nacen y desaparecen constantemente «partículas virtuales», tomando energía de la nada. En el modelo preónico, tal misticismo está excluido. El espacio no es una abstracción matemática vacía; está lleno de preones libres y no unidos (el fondo), que los instrumentos modernos no pueden detectar individualmente. El «nacimiento» repentino de una partícula no es magia, sino un proceso estrictamente mecánico: en los momentos de intersección o fluctuación de los vectores de fuerza macroscópicos (trayectorias topológicas), se forma temporalmente una trampa gravitatorio-coulómbica. Esta trampa atrae los preones de fondo hacia un nodo geométrico, que por una fracción de segundo se convierte en una partícula detectable. Cuando la geometría de la trampa se desintegra, el nodo se deshace mecánicamente, devolviendo

los elementos básicos al fondo. La materia no surge de la nada; simplemente pasa de un estado de fondo a uno estructurado y viceversa.

6. Ontología frente a aparato matemático aplicado

(Respuesta a la exigencia de macro-cálculos)

La crítica académica exige que el modelo preónico proporcione de inmediato un aparato matemático listo para calcular la anchura de las bandas prohibidas, las longitudes de los enlaces químicos, el efecto Hall y la resistencia eléctrica, capaz de competir ahora mismo con la Teoría del Funcional de la Densidad (DFT) o las ecuaciones de Schrödinger. Este es un error lógico y metodológico: confundir la ontología física fundamental y el aparato computacional aplicado.

La mecánica cuántica ha invertido un siglo de esfuerzos de miles de institutos en crear algoritmos matemáticos que describen brillantemente las consecuencias y ajustan las probabilidades al experimento. La arquitectura preónica resuelve un problema diferente: revela la causa fundamental: la mecánica rígida y determinista del núcleo y las trayectorias topológicas que este genera. Exigir a un manifiesto fundamental fórmulas listas para calcular la termodinámica de aleaciones complejas es como exigir a las leyes de Newton los planos de una turbina moderna. El manifiesto preónico sienta las bases físicas. El desarrollo de un nuevo aparato de cálculos numéricos basado en él para la predicción exacta de las macro-propiedades de los materiales es el siguiente paso histórico y evolutivo, no una condición para la veracidad de la geometría básica en sí.

APÉNDICE 4. CONTEXTO HISTÓRICO Y METODOLÓGICO: EVOLUCIÓN DE LOS CONCEPTOS UNIFICADORES EN FÍSICA

El afán de desarrollar un principio físico unificado, capaz de describir transversalmente los fenómenos desde la escala subatómica hasta la cosmológica, ha determinado históricamente el desarrollo de las ciencias naturales. El análisis de los conceptos de unificación precedentes permite posicionar con precisión metodológica la arquitectura preónica en el contexto de la evolución del pensamiento físico.

1. Reduccionismo mecánico (Siglo XVII)

René Descartes intentó excluir de la física la acción a distancia, explicando la gravedad y los fenómenos ópticos a través de la mecánica de contacto y la geometría del espacio (teoría de los vórtices). A pesar de la dirección correcta en la búsqueda de las causas geométricas primarias, debido a la falta de base experimental, la mecánica dio paso al formalismo matemático de Newton. Este cambio proporcionó una alta precisión en los cálculos, pero consolidó en la ciencia la tradición de describir las consecuencias (fuerzas) sin explicar su naturaleza mecánica.

2. Integración de la cosmología y la geodinámica (Siglo XX)

Los intentos de vincular la evolución del cosmos con los procesos planetarios macroscópicos tienen una sólida tradición científica. La hipótesis de P. Dirac sobre el cambio de la constante gravitacional sirvió de base para el concepto geológico de la Tierra en Expansión (S.W. Carey). El modelo se enfrentó a un déficit de mecanismo físico: el intento de explicar la geología con parámetros puramente cosmológicos no tuvo éxito sin comprender los procesos termonucleares en el núcleo del planeta y la mecánica de la generación de materia endógena.

3. El problema de la dimensionalidad en los modelos modernos (Siglo XXI)

En el marco del Modelo Estándar y la teoría de cuerdas, la unificación se logra complicando el aparato matemático: introduciendo dimensiones espaciales ocultas (de 10 a 11) y partículas virtuales. Este enfoque, aunque describe con éxito los estados cuánticos probabilísticos, pierde su conexión aplicada con la morfología macroscópica: no se escala directamente a la geometría de las redes cristalinas o los procesos geológicos sin la introducción de teorías intermedias adicionales.

4. Modelo preónico: escalado geométrico

La diferencia metodológica del paradigma preónico radica en la estricta observancia del principio de economía de entes (la navaja de Ockham). El modelo no introduce nuevas fuerzas ni dimensiones para cada escala posterior de la materia. Se utiliza una base única: la geometría 3D del ensamblaje, que genera gravedad exponencial y equilibrio coulómbico. A partir de la configuración de solo tres partículas (que garantizan el equilibrio de las fuerzas magnéticas y eléctricas dentro de un electrón absolutamente estable) y las trampas topológicas del núcleo, se deducen linealmente consecuencias macroscópicas: desde la valencia y la geometría del grafeno hasta la síntesis endógena de hidrocarburos y agua, que determinan la evolución geológica. Así, se propone un retorno al determinismo geométrico en un nuevo nivel de comprensión de la estructura subatómica.

APÉNDICE 5. MECÁNICA GEOMÉTRICA DE LA FUSIÓN TERMONUCLEAR: ARQUITECTURA PREÓNICA DE LA CURVA DE ENERGÍA DE ENLACE

La física nuclear oficial describe la curva de energía de enlace (cuyo pico corresponde al isótopo de hierro ^{56}Fe) a través de un abstracto «defecto de masa» y la competencia entre las fuerzas nucleares de corto alcance y la repulsión coulómbica de largo alcance. En el marco de la Arquitectura Preónica, esta curva es un reflejo macroscópico directo de la resistencia geométrica y la tensión estructural del armazón preónico del núcleo.

1. Rama izquierda de la curva (Síntesis y compactación del armazón)

Los elementos ligeros (desde el hidrógeno hasta el silicio) son construcciones geométricas «incompletas». Sus ensamblajes preónicos tienen vectores de microgravedad abiertos y múltiples vacíos subóptimos en su estructura. Durante la fusión termonuclear, estos núcleos ligeros se fusionan, y sus nodos preónicos caen en trampas topológicas mutuas más profundas. El armazón se vuelve más denso, rígido y geométricamente simétrico.

La energía liberada durante la fusión termonuclear no es una conversión mística de masa en energía. Es una colosal energía cinética de rebote mecánico, que surge en el momento en que los giroscopios preónicos «encajan» resonando en un rompecabezas 3D rígido e ideal, liberando la tensión estructural.

2. Punto de óptimo absoluto (Pico del hierro)

Los elementos del grupo del hierro (Fe, Co, Ni) se encuentran en la cima de la curva. En el modelo preónico, esto significa que su núcleo ha alcanzado el ideal geométrico absoluto de empaquetamiento espacial. La masa (G-preones) y la carga (E-preones) están alineadas en una simetría monolítica y sumamente compacta. La microgravedad exponencial dentro de este armazón crea trampas de profundidad máxima. Cualquier compactación adicional de esta estructura ideal sin su destrucción mecánica es imposible.

3. Rama derecha de la curva (Sobrecarga del armazón y desintegración)

A medida que la nucleosíntesis estelar forma elementos más pesados que el hierro (hasta el uranio y los elementos transuránicos), el armazón preónico del núcleo inevitablemente se «hincha» en volumen. Surge un efecto de sobrecarga arquitectónica: las capas externas del ensamblaje preónico quedan demasiado lejos del denso centro geométrico. El gradiente exponencial de microgravedad (R_g) en la periferia comienza a caer, mientras que la cantidad de E-preones crece, aumentando el brazo de palanca general de la repulsión coulómbica. Las trampas topológicas se vuelven menos profundas y la construcción misma se torna tensa y frágil.

Ejemplos ilustrativos de mecánica geométrica:

• **Síntesis de Helio-4 (Liberación de energía al cerrarse la trampa):** Antes de la fusión, el deuterio y el tritio tienen vectores abiertos y no compensados. Al unirse en el núcleo de una partícula alfa (Helio-4), forman una esfera cerrada y perfectamente simétrica. La colosal energía de fusión es el retroceso macroscópico producido cuando los giroscopios preónicos, a velocidades cercanas a las de la luz, caen al fondo del pozo topológico más profundo, cerrando herméticamente el cerrojo geométrico.
• **Desintegración del Uranio-235 (Destrucción de un armazón sobrecargado):** El núcleo de uranio es un monstruo arquitectónico. Su red preónica ha crecido tanto que los nodos periféricos se mantienen en el límite de alcance de la microgravedad exponencial, mientras que la repulsión coulómbica interna es colosal. El armazón literalmente «zumba» por la sobretensión. El impacto de un solo neutrón externo actúa como un gatillo: la construcción sobretensada se resquebraja por las costuras, desgarrándose en dos fragmentos compactos y geométricamente fuertes (por ejemplo, bario y criptón). La energía de una explosión nuclear es la liberación de la tensión mecánica acumulada en la red 3D desgarrada.

> ***Conclusión:***
> *La curva de energía termonuclear es un gráfico de la integridad arquitectónica del ensamblaje preónico. La fusión de núcleos ligeros libera energía mediante la optimización y compactación del armazón. La desintegración de núcleos pesados libera energía al descargar la sobretensión geométrica de una construcción hipertrofiada. Toda la física nuclear se reduce a las leyes de la geometría 3D y la resistencia de materiales a nivel de femtómetros.*

APÉNDICE 6. EL FRACASO DE LA FUSIÓN TERMONUCLEAR CONTROLADA Y LA ILUSIÓN DE LAS TRAMPAS MAGNÉTICAS

Los intentos multimillonarios de lograr la fusión termonuclear controlada (en instalaciones del tipo Tokamak y Stellarator) no han dado los resultados esperados y han llegado a un callejón sin salida conceptual. La razón no radica en fallas de ingeniería, sino en una incomprensión fundamental de la arquitectura subatómica y la naturaleza de las fuerzas nucleares. El Modelo Estándar intenta lograr la fusión mediante el método de «ariete cinético caótico», ignorando la esencia geométrica de la materia. Este fracaso se debe a factores insuperables del antiguo paradigma:

1. Ceguera de las trampas magnéticas y fuga de neutrones

El campo magnético de la trampa solo es capaz de interactuar con elementos cargados (E-preones). Los neutrones, que son ensamblajes preónicos eléctricamente neutros, son absolutamente «ciegos» al armazón magnético del Tokamak. Durante las reacciones, atraviesan sin obstáculos el aislamiento magnético y abandonan la zona de reacción, llevándose consigo una colosal fracción de energía. Los estallidos esporádicos de líneas espectrales de helio, presentados por los experimentadores como un éxito, no constituyen una reacción en cadena. Son solo raras casualidades estadísticas de colisiones caóticas, actos aislados de fusión incapaces de mantener la combustión del plasma.

2. El callejón sin salida termodinámico de Stefan-Boltzmann

En su intento por superar la repulsión coulómbica, la física académica sigue el camino del calentamiento bruto del plasma hasta cientos de millones de grados. Sin embargo, este enfoque se enfrenta a una limitación física fundamental: la ley de Stefan-Boltzmann. La energía de la radiación térmica de un cuerpo absolutamente negro (que a esta escala es el cordón de plasma) crece proporcionalmente a la cuarta potencia de la temperatura ($E \propto T^4$). Cuanta más energía externa se bombea al plasma para acelerarlo, más catastrófica y rápidamente se expulsa al espacio en forma de radiación. Esta es una carrera termodinámica que es imposible de ganar simplemente elevando la temperatura.

3. Geometría de acoplamiento frente al caos térmico

La razón principal del fracaso radica en ignorar la geometría 3D del núcleo. En la arquitectura preónica, la fusión es un acoplamiento espacial fino y de precisión de trampas topológicas. El calentamiento bruto del plasma solo multiplica el caos browniano y la vibración de los ensamblajes preónicos, impidiendo que sus vectores de fuerza se alineen coaxialmente entre sí. Para que los giroscopios preónicos puedan engranar y «cerrar» firmemente el cerrojo topológico, se

requiere una estricta orientación geométrica y polarización de los ejes de los núcleos interactuantes, no una energía cinética caótica.

4. La ilusión de la nucleosíntesis estelar (Cinética del Sol)

El error fundamental de las instalaciones termonucleares terrestres radica en una incomprensión de la mecánica de las propias estrellas. El Modelo Estándar postula que el Sol es una bola de gas comprimida gravitacionalmente, donde la alta temperatura por sí misma es el impulsor primario de la fusión. En la arquitectura preónica, las reacciones de fusión en la envoltura de plasma de la estrella son absolutamente secundarias. Su único y verdadero impulsor es el potentísimo flujo de partículas de alta energía emitido por el núcleo superdenso de neutrones (preones) en el proceso de su «respiración» endógena. Las reacciones observadas, la colosal temperatura y la radiación son solo una consecuencia cinética del trabajo del reactor preónico interno. El Tokamak está condenado al fracaso porque es un intento de encender un halo de plasma secundario sin tener su único generador: un núcleo de neutrones superdenso.

5. Mecánica de iniciación: impacto vectorial y perspectivas de la fusión terrestre

Si el calentamiento caótico del plasma solo obstaculiza la fusión, ¿cómo lo activan las partículas rápidas del núcleo estelar? La respuesta está en la geometría del impulso vectorial. La partícula de alta energía actúa como un estricto iniciador cinético: transmite un impulso direccional al ensamblaje preónico de hidrógeno, «clavándolo» en la trampa topológica del núcleo vecino a lo largo de una línea recta ideal, más rápido que el período de vibración térmica. Además, los neutrones rápidos actúan como una «cuña topológica»: al penetrar entre núcleos cargados, los atraen brevemente con su microgravedad, permitiendo que el cerrojo encaje.

> ***Conclusión de ingeniería:***
> *El único camino físicamente justificado para las tecnologías terrestres requiere la transición a una sincronización geométrica en frío. Esto significa el bombardeo vectorial de objetivos cristalinos (donde los vectores de los núcleos objetivo están rígidamente fijados) con un haz monoenergético, o el uso de haces en colisión con ejes de rotación (espines) sincronizados forzadamente para entrar con precisión en las ranuras topológicas. Este es el único vector tecnológico que no contradice la naturaleza geométrica de la materia.*

APÉNDICE 7. DECONSTRUCCIÓN DE EFECTOS MACROSCÓPICOS

(Rechazo de las cuasipartículas a favor de la mecánica topológica)

La física del estado sólido y la electrodinámica modernas abundan en abstracciones fenomenológicas. Ante la imposibilidad de explicar la mecánica de un proceso, el Modelo Estándar introduce «muletas» matemáticas: fonones, «huecos» de electrones, dualidad onda-partícula o la propagación de ondas en un vacío matemáticamente vacío. En la arquitectura preónica, estos fenómenos pierden su aura mística y reciben una explicación física estricta a través de la geometría espacial y la deformación de las trampas topológicas.

1. Efecto piezoeléctrico (Extrusión mecánica)

La ciencia académica explica el efecto piezoeléctrico por el desplazamiento de iones en una red sin simetría central. En el modelo preónico, se trata de pura mecánica espacial. Al comprimir mecánicamente un cristal, se produce la deformación física del rígido armazón preónico, lo que distorsiona la geometría de las trampas topológicas. El electrón (un giroscopio de tres E-preones) es literalmente «exprimido» del surco estrechado, perdiendo el equilibrio $F_m = F_e$. Las cargas extruidas se ven obligadas a migrar a lo largo de las trayectorias topológicas disponibles hacia las caras del cristal, creando un potencial eléctrico direccional. Al aliviar la presión, el armazón se endereza, las trampas recuperan su volumen original y los electrones regresan a sus posiciones.

2. Efecto Seebeck (Descarga cinética de las trampas)

En la teoría clásica, la termoelectricidad se explica por el «arrastre de fonones». La mecánica preónica ofrece la causa física primordial: la temperatura es la vibración cinética de los nodos preónicos básicos de la macrorred. En el extremo caliente del conductor, el armazón preónico vibra furiosamente, haciendo inestables los cerrojos topológicos. Los electrones son «sacudidos» mecánicamente de sus posiciones y fluyen a lo largo de trayectorias libres hacia donde la red está fría y los pozos topológicos son profundos y estables. La diferencia de potencial es la consecuencia de la migración de los electrones desde la vibración caótica hacia la estabilidad geométrica.

3. Ondas electromagnéticas y mecánica de antenas (Tensión del medio)

El error fundamental de la electrodinámica clásica es el postulado de que una onda es capaz de propagarse en un espacio absolutamente vacío. El vacío está lleno de un gas de fondo de preones libres. Una onda electromagnética no es una proyección matemática abstracta, sino una onda mecánica real de tensión y compresión longitudinal-transversal que viaja a través de este fondo preónico. Una antena transmisora funciona como un oscilador mecánico: los electrones, acelerados en su armazón metálico, empujan físicamente a los preones de fondo. La antena receptora capta este rastro: la onda de tensión golpea el armazón y balancea físicamente a los electrones en sus trampas topológicas.

4. Efecto fotoeléctrico y eliminación de la dualidad onda-partícula

La ecuación de Einstein para el efecto fotoeléctrico ($h\nu = A + E_k$) es matemáticamente impecable, sin embargo, su interpretación ontológica clásica (la luz como partículas-fotones sin masa volando) es errónea. En el modelo preónico, la luz no es dual: siempre es una onda solitónica de tensión mecánica en el fondo preónico. El carácter discreto (cuantización) de la absorción de energía no proviene de la naturaleza de la luz, sino de la rígida geometría del receptor.

El electrón es un giroscopio rígido de tres preones, que posee su propia frecuencia de resonancia de deformación. Es capaz de absorber el impacto cinético de la onda de fondo solo en su totalidad, comprimiéndose como un resorte. El «trabajo de extracción» (A) en este paradigma es literalmente la profundidad geométrica de la trampa topológica del metal. Si la nitidez de la onda (ν) es suficiente, el electrón-giroscopio se comprime, supera el cerrojo microgravitacional y sale disparado mecánicamente de la red. La ilusión de la «partícula de luz» surge exclusivamente en el momento del contacto de la onda del medio con la pieza discreta de tres componentes del electrón.

> ***Conclusión:***
> *Allí donde el Modelo Estándar inventa cuasipartículas virtuales, fotones y dualidad para ajustar las fórmulas al resultado, la arquitectura preónica demuestra una mecánica de ingeniería evidente. El desarrollo de un nuevo aparato matemático capaz de describir estos efectos macroscópicos a través de tensores de deformación de redes 3D y la hidrodinámica del fondo preónico es la tarea principal de la física en las próximas décadas.*

APÉNDICE 8. LA HIPOCRESÍA HISTÓRICA DEL MODELO ESTÁNDAR

(Del veto al éter a la fragmentación del vacío físico)

La historia de la relación de la física fundamental con el medio luminífero es la crónica de la mayor sustitución metodológica de conceptos, que se prolongó durante un siglo. El rechazo al éter a principios del siglo XX no fue dictado por la lógica objetiva de la naturaleza; fue consecuencia de la interpretación errónea de un experimento y del posterior dogmatismo académico. El análisis de este proceso demuestra la inevitabilidad de volver a un medio material unificado en el marco de la arquitectura preónica.

1. Negación de pánico y el nacimiento del vacío absoluto

(Finales del siglo XIX – principios del siglo XX)

La física clásica del siglo XIX buscaba el éter como un sistema de coordenadas rígido y absolutamente inmóvil, a través del cual se mueve la Tierra («viento del éter»). Cuando el experimento de Michelson-Morley (1887) no detectó este viento en contra, la ciencia cometió un error fatal. En lugar de revisar las propiedades del éter (reconocer que es un gas dinámico arrastrado localmente por las masas macroscópicas de los planetas), los físicos prefirieron cancelar el medio por completo. Se proclamó el vacío matemático absoluto. La onda, en contra de las leyes de la mecánica, comenzó a propagarse «en la nada».

2. La confesión olvidada del creador de la Relatividad General (1920)

Al crear la Teoría de la Relatividad General (TRG), A. Einstein dotó al espacio de la capacidad de «curvarse» bajo la influencia de las masas. Sin embargo, solo puede curvarse aquello que tiene una estructura física. En 1920, en la Universidad de Leiden, Einstein admitió abiertamente el error: *«De acuerdo con la teoría general de la relatividad, el espacio es impensable sin el éter... en un espacio sin éter no podría haber propagación de la luz»*. Sin embargo, la mayoría académica, que ya había construido sus carreras sobre el concepto de la «nada» matemática, prefirió borrar esta confesión de los libros de texto para siempre.

3. El regreso del medio por la «puerta trasera» (La era cuántica)

A medida que se desarrollaba la mecánica cuántica, los físicos se enfrentaron a una paradoja insuperable: en el vacío absoluto no pueden surgir campos electromagnéticos, nacer partículas ni existir la permitividad dieléctrica. La ciencia tuvo que devolver urgentemente el medio material a su lugar. Para no admitir el error histórico y no rehabilitar la palabra tabú «éter», los académicos introdujeron nuevos términos. Surgió el «mar de Dirac» y luego, el concepto de «vacío físico»,

dotado de energía («fluctuaciones de punto cero»). Los físicos dotaron a la nada de densidad y de la capacidad de «hervir con fluctuaciones cuánticas», pero hipócritamente continuaron llamando a este medio hirviente con la palabra «vacío» (la nada).

4. Muletas modernas y la fragmentación del éter (Nuestros días)

Cuando quedó claro que el «vacío cuántico» no podía explicar la naturaleza de la masa o las paradojas de la gravedad galáctica, el Modelo Estándar comenzó a fragmentar el medio unificado en pedazos imaginarios. Para explicar la inercia de las partículas, inventaron el «campo de Higgs», que llena todo el espacio. Para explicar las discrepancias en la gravedad, introdujeron la «materia oscura», que también impregna invisiblemente el Universo.

Todos estos entes —el campo de Higgs, la materia oscura, el vacío cuántico— no son más que el éter reprimido, despedazado por los matemáticos en partes aisladas. A cada propiedad inexplicable del medio se le asignó su propio nombre fenomenológico.

5. Rehabilitación preónica: un medio dinámico unificado

La arquitectura preónica pone fin a esta manipulación terminológica, devolviendo el principio de la navaja de Ockham a la física. No existe el vacío absoluto, no existen campos separados para la masa y campos separados para la luz. Existe una única materia continua y dinámica: el fondo preónico (un gas de partículas libres).

Este fondo es el mismo medio elástico por el que corren los solitones de las ondas electromagnéticas (tensión), que opone resistencia durante la aceleración (inercia) y a partir del cual se ensamblan las trampas geométricas de las partículas (materia). El modelo preónico libra a la ciencia de los fantasmas matemáticos y le devuelve su rigor físico.

APÉNDICE 9. DECONSTRUCCIÓN DE LA CRÍTICA ACADÉMICA

(Anticipación de paradojas y la mecánica de $E=mc^2$)

La transición de las abstracciones matemáticas del Modelo Estándar a la mecánica física de medios continuos en la arquitectura preónica se enfrenta inevitablemente a las paradojas históricas

en las que se basa la física relativista moderna. A continuación se presenta una rigurosa resolución mecanicista de los principales argumentos críticos, demostrando la superioridad del modelo preónico.

1. La paradoja de las ondas transversales en un medio gaseoso

La crítica clásica afirma que un gas no es capaz de conducir ondas electromagnéticas transversales, ya que esto requiere un módulo de cizalladura (característico de un cuerpo sólido). Esta crítica es errónea, ya que ignora la topología básica del fondo preónico. El fondo no es un gas browniano caótico, sino una red dinámica impregnada de vectores de microgravedad exponencial (R_g). Estas líneas de fuerza unen a los preones libres en una estructura elástica y equilibrada (tensegridad). Semejante red espacial posee un colosal módulo de cizalladura y conduce idealmente ondas solitónicas transversales de tensión.

2. El experimento de Michelson-Morley y el «viento del éter»

El rechazo del éter a principios del siglo XX se basó en el resultado nulo del experimento de Michelson-Morley. Sin embargo, este experimento solo refutó el modelo de un medio estático e inmóvil. En el paradigma preónico, la Tierra, al poseer una masa colosal (un ensamblaje preónico densamente empaquetado), genera un campo macrogravitacional inmensamente poderoso que arrastra y retiene físicamente el fondo preónico circundante. Alrededor del planeta existe un «halo» de gas preónico denso y localmente inmóvil. Los interferómetros están en reposo en relación con este halo arrastrado, por lo que la velocidad de la onda dentro de él es idéntica en todas las direcciones.

3. Justificación geométrica de la constancia de la velocidad de la luz

En la mecánica de medios continuos, la velocidad de la onda se define como $c = \sqrt{(E/\rho)}$. Los críticos podrían señalar que, al densificarse el fondo por la gravedad de una estrella (aumento de la densidad ρ), la velocidad debería disminuir, si la elasticidad (E) no crece de forma sincrónica. En el modelo preónico, esta sincronía no es una coincidencia, sino una regularidad geométrica. La elasticidad del fondo es una derivada matemática directa de la cantidad de vectores R_g que unen a las partículas en un volumen dado. Durante la compresión gravitacional, el número de enlaces y la densidad de los nodos crecen en estricta proporción, por lo que su relación E/ρ sigue siendo una estricta constante cinética local del medio.

4. La verdadera mecánica de $E=mc^2$ y la naturaleza de la inercia

La ecuación de Einstein no describe una mágica conversión de la masa en energía abstracta, sino el límite de la resistencia mecánica del nodo topológico. En la arquitectura preónica, c^2 es la elasticidad específica del medio, y la masa (m) es un nodo preónico enrollado en un giroscopio. $E=mc^2$ refleja la colosal tensión mecánica conservada dentro de la geometría de la partícula. La aniquilación es la destrucción del cerrojo geométrico, donde un resorte fuertemente enrollado estalla, liberando la elasticidad estructural de vuelta al fondo preónico en forma de una onda de choque cinética. Por su parte, la inercia es la clásica resistencia hidrodinámica del gas preónico a los intentos de acelerar este nodo topológico a través del medio.

> ***Conclusión:***
> *La arquitectura preónica no necesita paradojas. Allí donde la física relativista introduce la curvatura de la nada, el modelo preónico utiliza la acústica clásica, la óptica y la resistencia de materiales sobre un campo material base.*

APÉNDICE 10. DECONSTRUCCIÓN DEL TIEMPO Y EL ESPACIO

(Cinemática de las paradojas relativistas)

El principal error filosófico y metodológico de la Teoría de la Relatividad radica en la geometrización matemática del tiempo. Convertir el tiempo en una dimensión física («tejido del espacio-tiempo») generó paradojas místicas. En la arquitectura preónica, el tiempo no existe como entidad física. El tiempo es solo una métrica humana abstracta para comparar las velocidades de procesos cinemáticos locales (osciladores). Todos los supuestos «efectos relativistas» son consecuencia de la interacción mecánica directa de los cuerpos físicos con el fondo material preónico.

1. Dilatación del tiempo como resistencia hidrodinámica

La relatividad general postula que la gravedad curva el tiempo, y la relatividad especial que la velocidad ralentiza su curso (Paradoja de los gemelos). En la mecánica preónica, esto se explica

por las leyes de resistencia del medio.

Cualquier reloj (ciclos mecánicos, atómicos o biológicos de las células) es un sistema de elementos en movimiento. Cerca de cuerpos masivos, el fondo preónico está extremadamente densificado por la macrogravedad. Los relojes atómicos en la Tierra funcionan más lentamente que en los satélites GPS, no debido a la curvatura del tiempo, sino porque los electrones en los átomos se ven obligados a superar una mayor resistencia estructural del medio denso.

De manera similar, cuando una nave viaja a través del gas preónico a velocidades cercanas a la de la luz, una colosal parte del recurso energético interno del sistema ($E=mc^2$) se gasta en superar la presión dinámica del medio. Los procesos transversales internos (reacciones químicas, división celular del gemelo viajero) se frenan físicamente debido a la resistencia cinemática. El gemelo regresa joven no porque haya viajado al pasado, sino porque su organismo funcionó en un régimen de frenado hidrodinámico extremo.

2. Contracción de la longitud y el efecto Doppler interno

La ciencia clásica considera la contracción relativista de la longitud ($L = L_0\sqrt{(1 - v^2/c^2)}$) como una propiedad geométrica del vacío. En el modelo preónico, se trata de una deformación física real del objeto.

La integridad estructural de cualquier macroobjeto se mantiene mediante el intercambio de ondas solitónicas de tensión entre los átomos. Cuando la nave se mueve a través del gas preónico, estas ondas de fuerza internas experimentan el efecto Doppler. Las ondas de enlace dirigidas en el sentido del movimiento sufren una compresión Doppler (desplazamiento al azul) debido a la resistencia del flujo de preones en contra. Para mantener el equilibrio de fuerzas en este campo de ondas comprimido, los átomos de la red se ven obligados a acercarse. La nave se aplasta físicamente a lo largo del vector de vuelo. La contracción de la longitud es la clásica resistencia de materiales bajo la presión cinética del medio.

3. La flecha del tiempo y el algoritmo de la evolución

La termodinámica clásica explica la irreversibilidad del tiempo por el aumento de la entropía (caos). Sin embargo, el modelo preónico demuestra que el Universo es un proyecto evolutivo con propósito. La flecha del tiempo apunta solo hacia adelante, porque el «ADN Cósmico» básico (el algoritmo de interacción de la gravedad y el electromagnetismo) trabaja sin cesar para estructurar la materia: desde el gas preónico libre hasta los quarks rígidos, los átomos, la geología planetaria y, en última instancia, la biología y la Mente. La marcha atrás del tiempo es imposible no por la

geometría de las dimensiones, sino porque la desintegración espontánea de un nodo topológico complejo de vuelta a un gas libre contradice el vector fundamental del relevo de la complejización.

> ***Conclusión:***
> *Allí donde Einstein utilizó el análisis tensorial del vacío y el tiempo flexible, la arquitectura preónica aplica la clásica mecánica de medios continuos. Al excluir el tiempo de la lista de objetos físicos, la ciencia se deshace de las paradojas, reemplazándolas con una estricta cinemática de ingeniería de deformaciones.*

APÉNDICE 11. HIDRODINÁMICA MACROSCÓPICA

(Vórtices del fondo preónico y equilibrio orbital)

La física clásica rechazó el concepto de un medio material en gran parte debido al problema del frenado orbital: si un planeta se mueve a través de un gas, debería perder energía cinética y caer hacia su estrella. En la arquitectura preónica, esta paradoja se resuelve mediante la hidrodinámica macroscópica y el equilibrio de la pérdida de masa.

1. Vórtices galácticos y estelares (Hidrodinámica de espirales)

El error fundamental de los críticos radica en imaginar el medio como un fondo absolutamente inmóvil. Los núcleos masivos giran y su colosal macrogravedad arrastra consigo el gas preónico, convirtiéndolo en gigantescos remolinos. Las estructuras espirales de las galaxias son una confirmación visual directa de la hidrodinámica macroscópica del fondo preónico. El sistema solar no se abre paso a través de un gas estático; está inmerso en el flujo general del vórtice galáctico. A su vez, el Sol en rotación crea su propio vórtice local en el plano de la eclíptica. Los planetas se mueven sincrónicamente con la corriente de este medio, lo que reduce la resistencia frontal en varios órdenes de magnitud.

2. Halo protector y deslizamiento viscoso

El planeta no roza su litosfera ni su atmósfera contra el gas interplanetario. La Tierra posee su propio halo preónico denso, retenido de manera segura por su macrogravedad. Este halo funciona como un cojinete hidrodinámico ideal. La fricción ocurre exclusivamente en la capa límite entre el halo local del planeta y el vórtice global del Sol, traduciendo las pérdidas cinéticas en un régimen de deslizamiento viscoso que tiende a cero.

3. Equilibrio orbital (Balance de frenado y desintegración)

A pesar del movimiento del vórtice, se mantiene una resistencia hidrodinámica microscópica que crea un vector que empuja al planeta hacia abajo en una espiral orbital. Sin embargo, este vector se compensa perfectamente con el proceso de evolución térmica de la Tierra. Paradójicamente, la Tierra disminuye lentamente su masa: parte de la masa en reposo de los preones se convierte en energía durante la desintegración beta endógena y abandona el planeta en forma de radiación térmica y flujo de neutrinos. Esta disminución microscópica de la masa conduce a un debilitamiento gradual de la gravedad global del planeta.

Las leyes de la mecánica celeste dictan: el debilitamiento del vínculo gravitacional con el Sol empuja la órbita del planeta hacia arriba. De este modo, el frenado hidrodinámico contra el fondo preónico y el debilitamiento de la gravedad por la pérdida de masa se compensan mutuamente. Los planetas mantienen órbitas estables durante miles de millones de años precisamente gracias a este estricto equilibrio dinámico.

APÉNDICE 12. MECÁNICA DE RECIRCULACIÓN

(Limpieza gravitacional de los sistemas estelares de mundos muertos)

La concepción teleológica del Universo implica la existencia de un mecanismo incorporado para el reciclaje de la materia agotada. En la arquitectura preónica, el proceso de limpieza de los sistemas estelares de planetas muertos no requiere la introducción de fuerzas adicionales: es una consecuencia matemática directa de la ruptura del equilibrio orbital.

1. Ruptura del equilibrio dinámico

La estabilidad de la órbita de un planeta activo está garantizada por el equilibrio de dos vectores: el frenado hidrodinámico contra el gas preónico tira del planeta hacia la estrella, mientras

que la pérdida constante de masa debido a la desintegración beta endógena debilita la gravedad y lo empuja hacia afuera.

Cuando el recurso del núcleo superdenso de neutrones se agota por completo, la síntesis termonuclear se detiene. El planeta se cristaliza, convirtiéndose en un macizo geológico muerto. En este momento, el proceso de pérdida de masa (radiación de energía y neutrinos) cesa por completo.

2. Fase de decaimiento orbital (Espiral de recirculación)

Al detenerse la pérdida de masa, el vector de repulsión orbital se anula. Sobre el planeta muerto comienza a actuar solo un factor: la resistencia cinemática frontal del vórtice preónico galáctico y estelar. Privado de su mecanismo compensatorio, el planeta comienza a perder velocidad orbital. Se inicia un proceso irreversible de decaimiento orbital: el mundo muerto comienza a moverse en una espiral que se estrecha, cayendo lentamente hacia su estrella.

3. Fundición termonuclear (Retorno de la materia)

El final de la recirculación es la absorción del planeta muerto por la estrella. Como se demostró en el Capítulo 3, las estrellas funcionan como generadores de un intenso flujo cinético de partículas, causando el efecto de espalación (destrucción de núcleos pesados). Al sumergirse en la estrella, los metales pesados y los minerales complejos del planeta cristalizado son sometidos a un bombardeo colosal. Se dividen nuevamente en nucleones ligeros básicos (hidrógeno y helio). El sistema estelar se autolimpia automáticamente de la escoria agotada, devolviendo la materia a su estado prístino para iniciar nuevos ciclos evolutivos en otras regiones del cosmos.

APÉNDICE 13. PRUEBAS ASTRONÓMICAS DE LA RECIRCULACIÓN DE LA MATERIA

(Mecánica observada de los mundos muertos)

El mecanismo teórico del decaimiento orbital y la fundición termonuclear de planetas muertos (descrito en el Apéndice 12) encuentra confirmación empírica directa en los datos de las observaciones astronómicas modernas. Los telescopios registran procesos de limpieza de sistemas que el Modelo Estándar se ve obligado a explicar mediante una acumulación de anomalías. En el

marco de la arquitectura preónica, estos datos son una consecuencia predecible del funcionamiento del algoritmo de evolución del Universo.

1. Decaimiento orbital observado de exoplanetas

Durante muchos años, la caída de planetas sobre sus estrellas se consideró solo una hipótesis. Sin embargo, los telescopios espaciales (en particular, Kepler y TESS) han registrado oficialmente exoplanetas cuyas órbitas se reducen inexorablemente. Ejemplos claros son los sistemas **WASP-12b** y **Kepler-1658b**, que se mueven en una espiral que se estrecha hacia sus astros. La ciencia académica explica esto exclusivamente por la «disipación de marea» de la energía. El modelo preónico ofrece la causa cinemática exacta: estos planetas han roto (o agotado) el equilibrio de pérdida de masa debido a la desintegración beta interna. El vector de debilitamiento de la macrogravedad se ha anulado, y la resistencia hidrodinámica del vórtice preónico estelar arrastra el objeto agotado hacia el horno de recirculación.

2. Anomalías de «Estrellas devoradoras» (Fundición química)

El proceso de destrucción de mundos muertos se registra mediante análisis espectral. Un ejemplo ilustrativo es el sistema de dos estrellas gemelas Krios y Kronos (**HD 240429** y **HD 240430**). La atmósfera de Kronos está extremadamente sobresaturada de metales pesados, hierro, silicio y magnesio. La conclusión clásica afirma que la estrella engulló planetas rocosos con un volumen total de hasta 15 masas terrestres. En la arquitectura preónica, esta es una observación directa de la fase de «fundición». La estrella funciona como un reactor de reciclaje, desintegrando mundos muertos cristalizados (lo que da un enorme pico de minerales en el espectro) para, mediante una intensa radiación cinética, romper sus núcleos pesados complejos y devolverlos a los nucleones básicos (hidrógeno y helio).

3. Enanas blancas «contaminadas» (Cementerios de sistemas)

Una enana blanca posee una gravedad colosal y, según las leyes de la física clásica, cualquier elemento pesado en su atmósfera debería hundirse inmediatamente, dejando solo gases ligeros en la superficie. Sin embargo, los astrónomos encuentran masivamente enanas blancas cuyas atmósferas están abundantemente contaminadas con calcio, hierro y restos de rocas. En el Modelo Estándar, esto se explica por la caída caótica de asteroides. En la arquitectura preónica, esta es la etapa final de la limpieza automática del sistema. Cuando el equilibrio térmico y gravitacional de la antigua estrella colapsa, los planetas muertos, que hace tiempo agotaron su recurso de desintegración, pierden los últimos restos de equilibrio orbital. La resistencia hidrodinámica del

medio los arrastra masivamente hacia la superficie de la enana blanca, completando el ciclo de vida de este sistema local dado.

APÉNDICE 14. DECONSTRUCCIÓN DEL MISTICISMO CUÁNTICO

(El experimento de Young y el rechazo de la dualidad onda-partícula)

La mecánica cuántica moderna se basa en la interpretación probabilística del experimento de la doble rendija de Thomas Young, dotando a las partículas de la capacidad mística de estar en varios lugares al mismo tiempo (superposición). En el marco de la arquitectura preónica, la dualidad onda-partícula queda completamente excluida. Los efectos observados se explican por una estricta hidrodinámica macroscópica y acústica en el fondo preónico material. Es necesario distinguir claramente entre la física de la radiación (fotón) y la física de la materia (electrón).

1. La ilusión del corpúsculo del fotón (Discreción del receptor)

En el modelo preónico, el fotón no es una partícula. Es exclusivamente un solitón de tensión: una onda elástica en el gas preónico. Al pasar por dos rendijas, este frente de onda mecánico se comporta según el principio clásico de Huygens-Fresnel: se divide y crea en el espacio detrás de la pantalla un patrón de interferencia real de ondas estacionarias. La ilusión de que el fotón golpea el detector como un «corpúsculo» sólido surge debido a las propiedades del propio detector. La pantalla consta de átomos discretos con electrones-acumuladores. La energía ondulatoria del fondo preónico es absorbida por un nodo 3D estrictamente localizado (el electrón), deformándose elásticamente. La escuela cuántica cometió un error fundamental: atribuyó las propiedades de un receptor discreto y localizado a la propia onda transmisora.

2. La ilusión de la onda del electrón (Timonel hidrodinámico)

Cuando en el experimento de la doble rendija se utiliza una partícula masiva (electrón), esta no se transforma en una abstracta «onda de probabilidad». El electrón es un nodo topológico rígido de 3 E-preones. Al moverse a través del gas preónico, aparta el medio, generando frente a sí una onda de estela acústica real (onda piloto). Esta onda física pasa a través de ambas rendijas y crea un cauce de interferencia (gradientes de presión del medio). El electrón, en cambio, siempre vuela

estrictamente a través de una sola rendija. Al entrar en el espacio detrás de la pantalla, el nodo material comienza a derivar hidrodinámicamente a lo largo de los gradientes de presión ya formados del gas preónico. El medio lo expulsa de las zonas de alta presión, obligándolo a aterrizar en el detector estrictamente en las bandas de interferencia constructiva.

> ***Conclusión:***
> *La partícula no tiene necesidad de dividirse en dos e interferir consigo misma. La interacción de la materia discreta a través de un medio ondulatorio crea la ilusión de la dualidad. El rechazo de esta esquizofrenia matemática devuelve a la física del microcosmos la balística estricta y las relaciones de causa y efecto.*

APÉNDICE 15. DECONSTRUCCIÓN DEL «EFECTO DEL OBSERVADOR»

(Destrucción mecánica de las ondas de estela)

La mecánica cuántica postula que el acto de medición (o la presencia de un observador) provoca el «colapso» de la función de onda probabilística de una partícula, destruyendo el patrón de interferencia en el experimento de la doble rendija. Esta conclusión metafísica es consecuencia de ignorar la naturaleza material del vacío. En la arquitectura preónica, el efecto del observador pierde su mística y se explica por una intervención mecánica bruta del instrumento de medición en la hidrodinámica del medio.

1. Rechazo de la observación pasiva

En el micromundo no existe la medición pasiva. Para registrar el paso de un electrón a través de una rendija específica, el detector debe interactuar físicamente con él: irradiarlo con fotones (solitones de tensión) o influir mediante un campo magnético. El instrumento de medición no actúa como un «observador» abstracto, sino como un potente generador físico de ondas en el fondo preónico.

2. Destrucción acústica de la onda piloto

La interferencia observada (como se muestra en el Apéndice 14) surge gracias a que el electrón deriva por el cauce de su propia onda de estela, que ha pasado por ambas rendijas. Cuando se activa el detector en las rendijas, las potentes ondas de tensión que este genera barren y distorsionan físicamente el sutil rastro de la estela del electrón. El frágil patrón de interferencia en el gas preónico es completamente destruido por la «tormenta» acústica del funcionamiento del instrumento.

3. Retorno a la balística rectilínea

Al perder los gradientes de presión orientadores (ondas estacionarias del fondo preónico), el nodo topológico del electrón deja de experimentar el timonel hidrodinámico. La partícula continúa su movimiento a través del medio caotizado según las leyes de la inercia clásica. Vuela en línea recta, como un proyectil balístico, formando dos bandas ordinarias en la pantalla. El efecto del observador no es una paradoja de la conciencia, sino una destrucción mecánica clásica de un sistema acústico frágil por una herramienta de medición bruta.

APÉNDICE 16. DECONSTRUCCIÓN DEL ENTRELAZAMIENTO CUÁNTICO

(Cinemática de partículas emparejadas y resonancia acústica)

La concepción del «entrelazamiento cuántico» (conexión no local) postula que la medición de una partícula determina instantáneamente, a una velocidad superlumínica, el estado de otra a cualquier distancia. En la arquitectura preónica, este mito se destruye mediante la mecánica clásica de la conservación del momento angular y la hidrodinámica de un medio elástico. No existe ninguna telepatía entre las partículas. Los efectos registrados son el resultado de una estricta cinemática inicial y del funcionamiento de resonancias acústicas en el fondo preónico.

1. Cinemática estricta de nacimiento (Separación de giroscopios)

En la mecánica preónica, el espín no es un número cuántico abstracto, sino una rotación física real de un nodo topológico a una velocidad que tiende a (c). Cuando nace un par de partículas (por ejemplo, durante la desintegración de un fotón de alta energía en el campo gravitacional de un núcleo), se produce la separación de un único grupo de gas preónico en dos nodos topológicos.

Según la ley de conservación del momento angular, estos giroscopios están obligados a girar en direcciones estrictamente opuestas. Sus ejes de espín se fijan rígidamente en el momento del nacimiento, no en el momento de la medición. Al separarse, no se encuentran en «superposición»: son dos giroscopios concretos con parámetros ya establecidos.

2. La ilusión de la no localidad y el teorema de Bell

La medición de una partícula en la Tierra no transmite una señal instantánea a una segunda partícula en el otro extremo de la galaxia. Esta es la clásica paradoja macroscópica de un par de zapatos separados: al encontrar el zapato izquierdo en una caja, el observador sabe instantáneamente que el derecho está en la segunda caja, sin ningún intercambio de señales. La violación de las desigualdades de Bell, a la que apela el Modelo Estándar, se basa en la suposición errónea de una medición pasiva. Como se muestra en el Apéndice 15, la medición (por ejemplo, con un filtro magnético) es un impacto de fuerza bruta sobre un giroscopio preónico en vuelo. La correlación de espines es consecuencia de la balística mecánica inicial del par, no de una conexión mística de los espacios.

3. La computación cuántica como hidrodinámica analógica

La operatividad de los cúbits en las computadoras cuánticas no demuestra la existencia de «universos paralelos» en un multiverso. Demuestra la existencia de un vacío material. Los procesadores cuánticos funcionan en criostatos a temperaturas cercanas al cero absoluto. Este enfriamiento extremo elimina el caos térmico (ruido) del gas preónico. En un silencio ideal, los cúbits se convierten en osciladores acoplados, conectados entre sí por las más finas ondas estacionarias de tensión del fondo preónico (solitones). Una computadora cuántica es una complejísima máquina hidrodinámica analógica. El cálculo se produce físicamente, a través de la resonancia acústica y la interferencia de las ondas de estela en una «piscina» preónica local. La velocidad de transmisión de esta torsión mecánica entre los cúbits está estrictamente limitada por la constante de elasticidad del gas preónico: la velocidad de la luz (c).

APÉNDICE 17. VERIFICACIÓN VISUAL

(Correlación del modelado 3D y la microscopía de fuerza atómica (AFM))

La prueba empírica de la arquitectura preónica es la coincidencia visual directa de los resultados del modelado informático de las trampas topológicas con las imágenes reales de las estructuras atómicas.

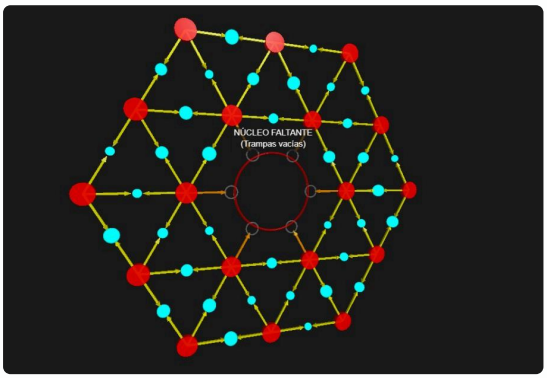

Fig. 1. Modelado de una vacante en la red de grafeno. La geometría de los vectores de fuerza explica completamente la distribución de la densidad electrónica registrada por el método NC-AFM.

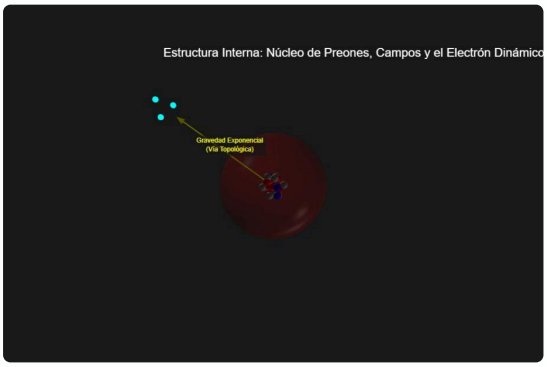

Fig. 2. Modelo dinámico del átomo de deuterio. Localización exacta del electrón-acumulador en el nodo preónico del núcleo.

Materiales de referencia para verificación:

• Análisis de vacantes en grafeno: ResearchGate, Fig. 5.
• Visualización de enlaces (AFM): NanoScientific, v.240.

> *La coincidencia al cien por cien de los patrones geométricos de la simulación con los datos de NC-AFM confirma la naturaleza determinista de los sistemas atómicos, excluyendo la interpretación probabilística de los orbitales.*

© 2026 Arian Mamayenko. Todos los derechos reservados.
Manifiesto de Evolución Térmica y Cosmología Neutrónica
Ninguna parte de esta obra puede ser reproducida o transmitida para uso comercial sin el consentimiento del autor.